Член-корреспондент АН СССР В. В. КОРШАК, Н. М. КОЦОЕВА, В. В. РОДЭ

ОСОБЕННОСТИ ОКИСЛЕНИЯ ПОЛИБЕНЗИМИДАЗОЛОВ

Ароматические полимеры с бензимидазольными фрагментами в макромолекуле являются одними из наиболее термически устойчивых высокомолекулярных соединений $\binom{1}{2}$.

В настоящей работе рассмотрены результаты исследования превращений при повышенных температурах в присутствии кислорода ряда полибензимидазолов следующего строения:

$$-C \bigvee_{\substack{N \\ \downarrow \\ X}} C - Ar -$$

I. $Ar = n-C_6H_4$, X=H; II. $Ar = n-C_6H_4$, $X=C_6H_5$; III. $Ar = M-C_6H_4$, R=O, X=H; IV. $Ar = M-C_6H_4$, $R=CH_2$, X=H.

Наряду с ними исследованию подвергали бензимидазолы, моделирующие элементарное звено полимеров: 2-фенилбензимидазол (V), 1-2-дифенилбензимидазол (VI), 4,4'-дифенилоксиддибензимидазолил-2,2'(VII) и 2,2'-дифенилдибензимидазолилметан(VIII). Полимеры и модельные соединения были получены путем полициклизации соответствующих кислот и аминов ($^{3-5}$). Очищенные вещества характеризовали и.-к. спектрами, температурами плавления и элементным анализом. Деструкцию полимеров проводили в изотермических условиях в интервале температур $250-700^\circ$ (через 25°) в замкнутой системе при давлении кислорода 150 мм рт. ст. или на воздухе на весах непрерывного взвешивания (6). Разложение модельных веществ проводили в ампулах при давлении кислорода 700-750 мм рт. ст. в стальном термостатированном блоке, температуру в котором поддерживали с точностью $\pm 1,5^\circ$.

Газообразные продукты деструкции анализировали на хроматографе-Цвет-4. Анализ низкомолекулярных продуктов проводили методом тонкослойной хроматографии и хроматографией на колонке, а также характеризовали их методами элементного анализа и и.-к. спектроскопии. Как видно из данных, представленных на рис. 1, изменение веса полибензимидазолов І — IV наступает при температурах 250—300°. В отличие от многих других полигетероариленов (7) в области этих температур паблюдались не потери, а увеличение веса образцов; одновременно с этим отмечалось поглощение кислорода в системе (рис. 2). Уменьшение же веса образцов полимеров І — IV происходило при температурах выше 475—500°.

Как показали исследования, привес образцов полибензимидазолов составляет 1-2% (рис. 1) и, судя по данным элементного анализа, обусловлен исключительно поглощением кислорода. Уменьшение веса полимеров при прогреве выше $500-550^\circ$ сопровождается выделением газообразных и пизкомолекулярных продуктов: водорода, цианистого водорода, нитрилов и динитрилов соответствующих кислот. При этом их состав и соотношение во многом сходны с продуктами разложения этих полимеров в вакууме (8). Вместе с тем выделяются заметные количества H_2O , CO и CO_2 , а вещества аминного характера практически отсутствуют.

Медленнее других окисляется полимер II, при этом на ранних стадиях его окисления, как и в условиях термораспада, основным продуктом деструкции является бензол. Это позволяет считать, что окисление N-фенил-замещенного полибензимидазола II развивается параллельно с термическим разрывом связи азот — фенил.

Исходя из известных литературных данных (⁹, ¹⁰) о снижении устойчивости бензольного ядра, сопряженного с имидазольным циклом, следовало

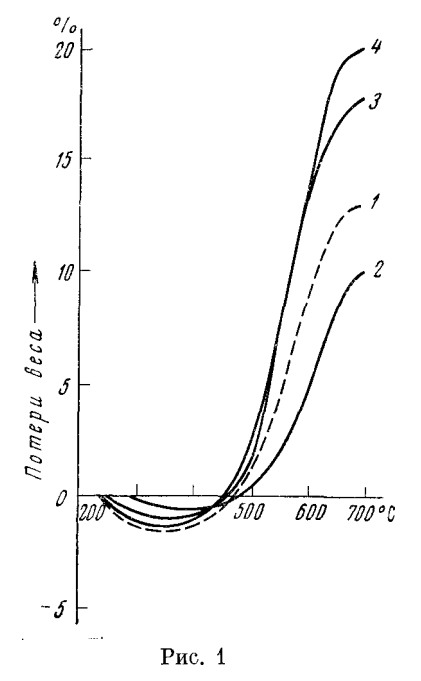
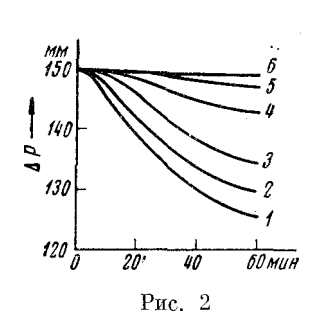


Рис. 1. Глубина разложения полибензимидазолов I (I), II (2), III (3) и IV (4) в присутствии кислорода в замкнутой системе в течение 1 часа

Рис. 2. Поглощение кислорода в замкнутой системе при температурах 250° (1), 300° (2), 350° (3), 400° (4), 450° (5), 500° (6)



предположить, что поглощение кислорода в процессе окисления полибензимидазолов связано прежде всего с реакционной способностью этих бензольных ядер. Это предположение нашло свое подтверждение при анализе и.-к. спектров исходных и прогретых образцов полибензимидазолов. В спектрах окисленных полимеров, при сохранении основных характерных ников исходных образцов, было отмечено появление полос поглощения карбонильных групп в области 1620, 1670 см⁻¹ (рис. 3a). Из литературы (¹¹) известно, что подобные полосы характерны для производных 6,7-бен-

Таблица 1 Состав продуктов термоокислительной деструкции модельных бензимидазолов (мол.%)

Соедине- ние	Т-ра деструк- ции, °С	H_2	$_{ m CH_4}$	CO	CO ₂	H ₂ O	CcH€	Бензонит-
V	400 450 500	0,07 0,78 1,05	0,15	$\begin{bmatrix} 57,7\\ 50,6\\ 36,4 \end{bmatrix}$	106,0 215,3 308,5	$\begin{bmatrix} 2,17\\ 3,43\\ 8,14 \end{bmatrix}$	0,07	$ \begin{vmatrix} 0,07 \\ 0,12 \\ 0,17 \end{vmatrix} $
VI	500 550 600	$0,05 \\ 0,19 \\ 0,21$	0,65	12,9 8,4 3,3	37,4 108,0 127,6	0,75 1,72 3,88	8,72 18,61	0,09 0,18
VII	400 450 500	$0,08 \\ 0,26 \\ 1,50$	$\begin{bmatrix} -0,22\\ 1,60 \end{bmatrix}$	55,1 $30,3$ $18,9$	$\begin{bmatrix} 232,2\\ 805,5\\ 1354,6 \end{bmatrix}$	$\begin{bmatrix} 3,19 \\ 6,67 \\ 10,38 \end{bmatrix}$	$0,28 \\ 0,67 \\ 1,71$	0,38 0,51 0,67
VIII	400 450 500	0,08 $1,98$ $3,26$	0,12 0,74	37,8 15,0 8,5	$\begin{array}{c} 216,4 \\ 906,7 \\ 1380,0 \end{array}$	$\begin{bmatrix} 3,48 \\ 7,27 \\ 12,18 \end{bmatrix}$	0,48	0,08 0,11 0,15

зимидазолхинона и, очевидно, свидетельствуют об образовании хиноидных структур и в случае окисления исследованных полибензимидазолов I-IV.

Для подтверждения этого аналогичному окислению были подвергнуты низкомолекулярные модельные бензимидазолы V—VIII. И в этом случае анализ п.-к. спектров в начальный период окисления показывает появление расщепленных полос поглощения в области 1625, 1670 см⁻¹ (рис. 36). Однако повышение температуры окисления модельных бензимидазолов

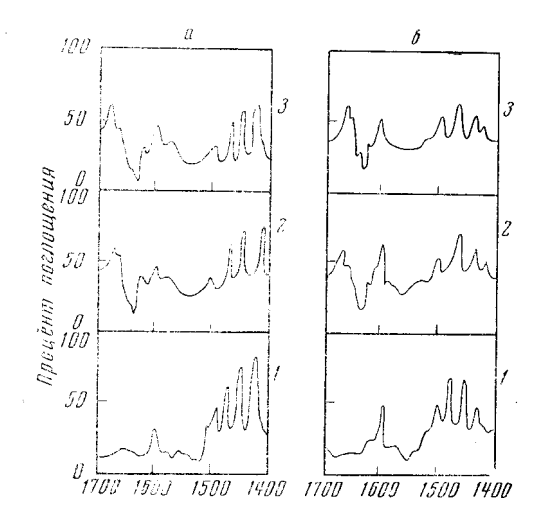


Рис. 3. И.-к. спектры исходных (1) и окисленных при 250° (2) и 300° (3) образцов полибензимидазола I (a) и 2-фенилбензимидазола V (6)

Рис. 4. Кинетические кривые окисления полибензимидазола III на воздухе при температурах 350° (1), 375° (2), 400° (3), 425° (4), 450° (5)

выше $400-500^{\circ}$ приводит к их полному разрушению с выделением значительных количеств окислов углерода (табл. 1). Следует отметить, что скорости потерь веса полимеров заметно ниже соответствующих величин для модельных соединений, при этом абсолютные значения уменьшения веса полимеров в кислороде много меньше, чем при разложении их в вакууме (8). Таксе явление, на наш взгляд, связано со стабилизирующим действием образовавшихся полимерных хиноидных структур на устойчивость полибензимидазолов к окислению.

Проведение окисления полимеров на воздухе на весах непрерывного взвешивания показывает, что стабилизирующий эффект проявляется и в этом случае, когда при температурах 300—350° удается отметить некоторое увеличение веса образцов с дальнейшим снижением скорости окисления полимеров (рис. 4).

Рассмотрение кинетики глубокого окисления полимеров на воздухе позволило найти значения эффективной энергии активации суммарного процесса деструкции (34—38 ккал.), а также значения предэкспоненциальных множителей в уравнении Аррениуса $(0.8-5.4\cdot10^6~{\rm cek}^{-1})$, величины которых указывают на радикальный характер развивающихся реакций.

В заключение авторы выражают благодарность М. М. Теплякову, А. Л. Русанову и А. А. Изынееву за любезно предоставленные образцы полимеров и модельных соединений.

Институт элементоорганических соединений Академии наук СССР Москва Поступило 26 VII 1972

ЦИТИРОВАННАЯ ЛИТЕРАТУРА

¹ H. Lee, D. Stooffey, K. Neville, New Linear Polymers, London, 1968.
² V. V. Korshak, M. M. Teplyakov, J. Macromol. Sci., C5, 409 (1971). ³ H. Vogel, S. Marvel, J. Polymer Sci., 50, 511 (1961). ⁴ Г. М. Черкасова, Кандидатская диссертация, МХТИ им. Д. И. Менделеева, 1969. ⁵ Р. Д. Федорова, Кандидатская диссертация, МХТИ им. Д. И. Менделеева, 1969. ⁶ В. В. Родэ, И. В. Журавлева, Зав. лаб., 30, 1518 (1964). ⁷ П. Н. Грибкова, В. В. Родэ и др., Высокомолек. соед., A12, 220 (1970). ⁸ В. В. Родэ, Н. М. Коцоева и др., Высокомолек. соед., A112, 1854 (1970). ⁹ К. Д. Неницеску, Органическая химия, 1, ИЛ, 1962. ¹⁰ Б. А. Порай-Кошиц, Л. Н. Кононова, Л. С. Эфрос, ЖОХ, 24, 507 (1954). ¹¹ Э. Р. Захс, Л. С. Эфрос, ЖОХ, 34, 1633 (1964).